



اثر مقیاس و نوع سامانه‌ی طبقه‌بندی بر نتایج نقشه‌برداری خاک به روش ژئوپدولوژی (مطالعه‌ی موردی: منطقه‌ی دماوند، استان تهران)

زکیه رشیدی کوچی^{۱*} - عیسی اسفندیارپور بروجنی^۲ - علی عباس‌پور^۳ - اردوان کمالی^۴ - علی‌اصغر نادری^۵

تاریخ دریافت: ۱۳۹۰/۱۱/۱۷

تاریخ پذیرش: ۱۳۹۱/۶/۵

چکیده

ژئوپدولوژی، کاربرد روشنمند تجزیه و تحلیل سطوح ژئومرفیک برای نقشه‌برداری خاک است که عوارض طبیعی زمین را متناسب با مقیاس، در یک سامانه‌ی سلسله‌مراتبی، منظم و استاندارد می‌نماید. در این راستا تأثیر مقیاس و نوع سامانه‌ی طبقه‌بندی خاک بر قابلیت اعتماد نتایج روش ژئوپدولوژی مورد پژوهش قرار گرفت. برای این‌منظور، دو محدوده‌ی مشابه A و B پس از تهیه‌ی نقشه‌ی تفسیری اولیه منطقه‌ای به وسعت ۱۵۰۰ هکتار در شرق دماوند بر روی عکس‌های هوایی با مقیاس ۱:۵۵۰۰۰، ۱:۴۰۰۰۰، انتخاب شدند. سپس، متناسب با مطالعات نیمه‌تفسیلی خاک، به حفر خاکرخ در هر کدام از محدوده‌های مشابه مورد نظر اقدام گردید. با تشریح و نمونه‌برداری از همه‌ی افق‌های پیادیشی خاکرخ‌های مطالعاتی و انجام آزمایش‌های فیزیکی و شیمیایی لازم بر روی نمونه‌ها، رده‌بندی خاکرخ‌ها بر اساس سامانه‌ی رده‌بندی آمریکایی (تا سطح فامیل) و بر مبنای سامانه‌ی طبقه‌بندی جهانی (تا سطح زیرواحد) نهایی گردید. نتایج، حاکی از تأثیر قابل ملاحظه‌ی مقیاس نقشه‌برداری بر نتایج روش ژئوپدولوژی بود؛ به طوری که میزان شباهت نسبی خاک‌های دو واحد مشابه گفته شده در مقیاس ۱:۴۰۰۰۰، همواره و در همه‌ی سطوح طبقه‌بندی، کمتر از مقیاس ۱:۵۵۰۰۰ بود. از سوی دیگر، سامانه‌ی رده‌بندی خاک آمریکایی نسبت به سامانه‌ی طبقه‌بندی جهانی در برآورد میزان شباهت نسبی خاک‌های موجود در ژئوفرم‌های مشابه، از هم‌خوانی بالاتری با روش ژئوپدولوژی برخوردار بود. به طور کلی، روش ژئوپدولوژی هنوز قادر به برآورد و تعیین تغییرات کامل خاک‌ها و تعریف دقیق طبیعت بی‌نظم و درهم آن‌ها نمی‌باشد و کارایی این روش، محدود به مقیاس‌های نیمه‌تفسیلی و کوچکتر است.

واژه‌های کلیدی: برون‌بایی، روش ژئوپدولوژی، مقیاس، واحدهای مشابه، نقشه‌برداری خاک

شیوه اصطلاحاً "روش ژئوپدولوژی"^۶ گفته می‌شود (۲۴).

روش ژئوپدولوژی، نخستین بار به‌وسیله‌ی زینک (۳۳) ابداع و گسترش یافت. این روش، بیانگر کاربرد روشنمند تجزیه و تحلیل سطوح ژئومرفیک برای نقشه‌برداری خاک است که تلاش دارد پدیده‌ها و عوارض طبیعی زمین را متناسب با مقیاس در یک سامانه‌ی سلسله‌مراتبی (به‌طور عمده، در بر گیرنده‌ی چهار سطح سیمای زمین^۷، پستی و بلندی^۸، سنگ‌شناصی^۹ و شکل زمین^{۱۰})، منظم و استاندارد نماید (۲۴). به عبارت دیگر، هر سطح از سطوح چهارگانه‌ی گفته شده را در مقیاس معینی می‌توان تفکیک نمود (۹). به گفته‌ی دیگر، در روش ژئوپدولوژی، نتایج به‌دست آمده از مطالعات انجام‌شده

مقدمه

نقشه‌برداری خاک، بیانگر تشریح روشنمند خاک‌ها در صحرا و گروه‌بندی آن‌ها در قالب واحدهای نقشه، به منظور تعیین بهترین کاربری خاک‌ها و نیز نمایش موقعیت آن‌ها بر روی نقشه می‌باشد (۱۸). مرزبندی و تفکیک واحدهای نقشه باید به‌گونه‌ای صورت پذیرد که تفاوت میان آن‌ها حداقل و تغییرپذیری درونی آن‌ها حداقل باشد (۳۲). استفاده از داده‌های علم ژئومرفولوژی برای ترسیم مرزها یکی از روش‌های مهم تفکیک زمین و واحدهای نقشه می‌باشد که به این

۱، ۳ و ۵- به ترتیب دانشجوی کارشناسی ارشد و استادیاران گروه علوم خاک،

دانشکده‌ی کشاورزی، دانشگاه صنعتی شاهرود

(Email: Zakiehrashidi@yahoo.com) - نویسنده مسئول:

۲ و ۴- استادیاران گروه علوم خاک، دانشکده‌ی کشاورزی، دانشگاه ولی‌عصر (عج)

Rafsanjani

6- Geopedologic approach

7- Landscape

8- Relief

9- Lithology

10- Landform

مواد و روش‌ها

انتخاب منطقه‌ی مطالعاتی

با توجه به وضعیت توپوگرافی، زمین‌شناسی و ژئومرفولوژی موجود در منطقه‌ی دماوند که تکرار پذیری اشکال زمین در آن به خوبی دیده می‌شود، منطقه‌ای مناسب در پنج کیلومتری شرق دماوند انتخاب گردید. منطقه‌ی مورد مطالعه با مساحتی حدود ۱۵۰۰ هکتار در حد فاصل طول‌های جغرافیایی "۳۵°۵۸'۵" تا "۳۷°۰'۵۸'" و عرض‌های جغرافیایی "۴۰°۳۵'۳" تا "۴۱°۵'۳۵'" شمالی و در میانگین بلندی ۱۹۷۰ متری از سطح دریا واقع شده است (شکل ۱). میانگین ۱۴ ساله (۱۳۷۵) بارش و دمای هوای سالانه‌ی این منطقه، به ترتیب، $443/3$ میلی‌متر و $12/5$ درجه‌ی سلسیوس می‌باشند. رژیم‌های دمایی و رطوبتی خاک منطقه‌ی مطالعاتی نیز به ترتیب، مزیک^۳ و زریک^۴ هستند (۲). منطقه‌ی مورد مطالعه شامل دو چشم‌انداز تپه‌ماهور^۵ و دامنه^۶ است (شکل ۱). مواد مادری این منطقه، به‌طور عمده شامل توف سبز و گذازه‌های برشی‌شده‌ی آندزیت- بازالت می‌باشند (۶). سیب، گلابی و دیگر میوه‌های سردسیری، به‌همراه تربه‌بار، علوفه، گندم، سبیز‌زمینی و لوبیا- سبز از فراورده‌های عمده‌ی منطقه‌ی مطالعاتی به‌شمار می‌آیند.

تهیه‌ی نقشه‌ی تفسیری اولیه (نقشه‌ی ژئوفرم) منطقه‌ی مطالعاتی

پس از تدارک لوازم و اطلاعات مورد نیاز شامل عکس‌های هوایی منطقه با مقیاس $1:40000$ و $1:55000$ ، نقشه‌های توپوگرافی با مقیاس $1:25000$ و $1:50000$ (۴) و $1:50000$ (۵) و نقشه‌ی زمین‌شناسی به مقیاس $1:100000$ (۶)، براساس دیدگاه ژئومرفیک و با توجه به سطوح طبقاتی روش ژئوپدولوژی (۳)، نقشه‌ی تفسیری اولیه‌ی منطقه‌ی مطالعاتی به صورت مرحله‌ای و از طریق تفسیر استریوسکوپی، یکبار با استفاده از عکس‌های هوایی $1:40000$ و $1:55000$ دیگر با کاربرد عکس‌های هوایی $1:40000$ تهیه شد. پس از آن، عکس‌های تفسیرشده، اسکن و وارد محیط نرم‌افزار آرک-جی‌آی اس^۷ شدند. در مراحل بعد، عکس‌های واردشده به این محیط، با استفاده از نقاط مرجع برداشت شده در صحرا و همچنین با کمک گرفتن از تصاویر ماهواره‌ای گرفته شده از بخش زمین‌شناسی آمریکا و به روش "اورتو-فتو-ژئورفرنس"^۸ (۲۶)، زمین مرجع شدند. با رقومی کردن مرزهای ترسیم شده بر روی همه‌ی عکس‌ها، نقشه‌ی اولیه‌ی شکل‌های زمین منطقه‌ی مورد مطالعه ایجاد شد (شکل ۱).

3- Mesic

4- Xeric

5- Hill-land

6- Piedmont

7- Arc-GIS 9.3

8- Ortho-Photo-Georeferencing

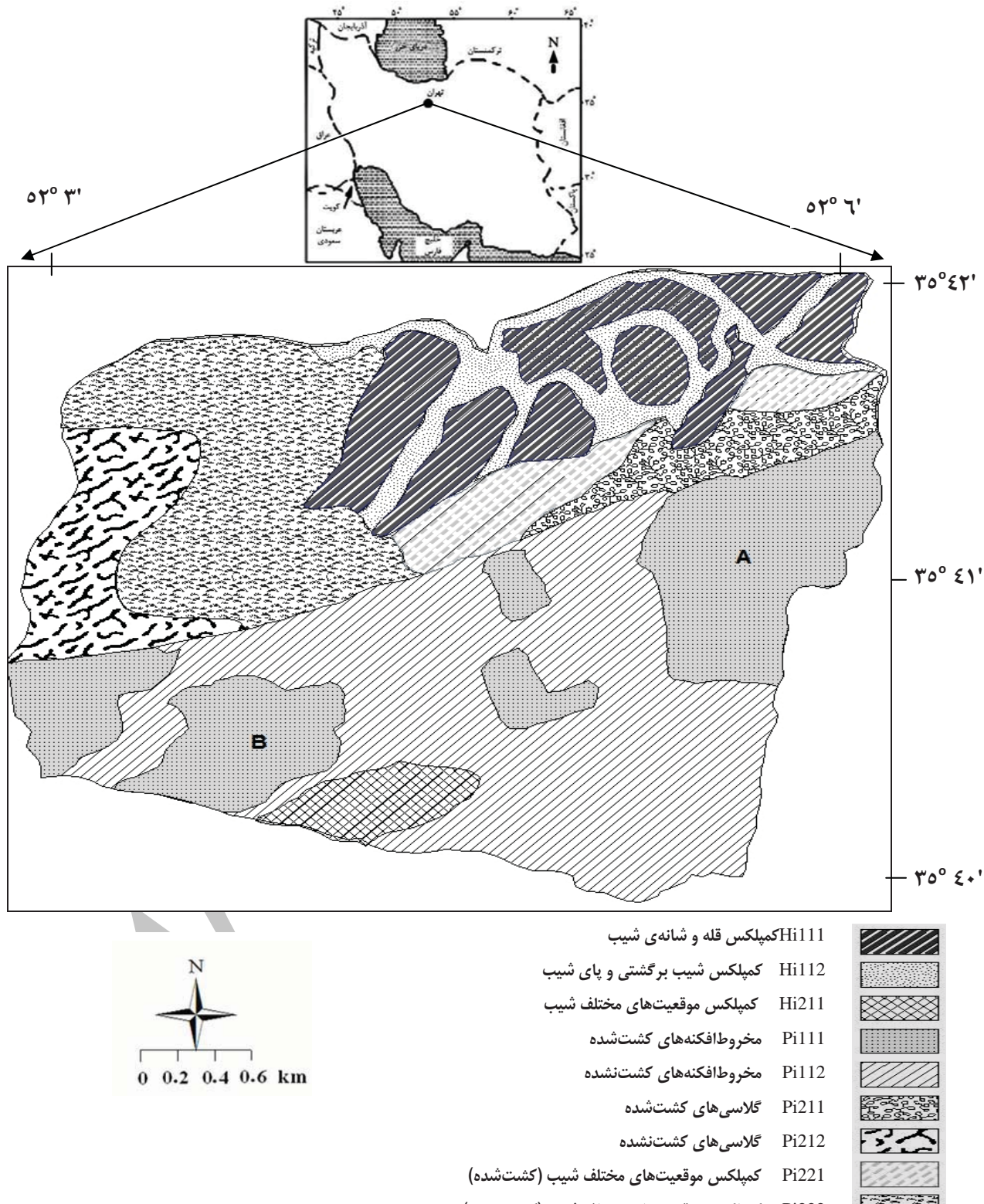
در یک واحد ژئومرفیک به سایر واحدهای مشابه موجود در منطقه‌ی مطالعاتی تعمیم داده می‌شوند. بنابراین، ژئوپدولوژی می‌کوشد تا مطالعات خاک‌شناسی را ساده کند و افزون بر گزینش واحدهای نقشه‌ی یکنواخت و ارایه‌ی الگوی پراکنش خاک‌های یک منطقه، هزینه‌ی انجام مطالعات را کاهش دهد (۳۳).

به‌طور کلی، تغییرات سیمای زمین به مقیاس وابسته‌اند و از نظر سلسله‌مراتبی، سامانه‌های پیچیده‌ای را ایجاد می‌کنند که از تعداد زیادی اجزای ناهمگن دارای روابط غیرخطی تشکیل می‌شوند (۱۵). از سوی دیگر، با توجه به این که عوامل خاک‌سازی در طول سیمای زمین به‌طور پیوسته تغییر می‌کنند، خاک‌ها نیز دارای تغییرپذیری مکانی^۱ می‌باشند و به‌گونه‌ای پیوسته تغییر می‌کنند. بارو (۱۰) و سیلا و همکاران (۳۱) عنوان کرده‌اند که مطالعه‌ی تغییرپذیری خاک در مقیاس‌های متعدد می‌تواند در راستای مدل‌سازی و پیشگویی رفتار خاک مفید واقع شود.

از آنجا که ژئوپدولوژی، یک روش سلسله‌مراتبی برای ساماندهی و طبقه‌بندی سیمای زمین به حساب می‌آید و میان سطوح آن و مقیاس نقشه‌برداری، رابطه‌ی مستقیم وجود دارد (۹)؛ مقیاس می‌تواند نقش مهمی در تعمیم‌پذیری نتایج حاصل از آن ایفا کند. در سال‌های اخیر پژوهش‌های متعددی در ارتباط با روش ژئوپدولوژی صورت گرفته‌اند (از جمله، مؤمنی (۲۱) و همکاران (۸)؛ شیپانده (۲۲)؛ هنگل و رزیتر (۱۶)؛ بنی‌نعمه و همکاران (۳)؛ فرشاد و همکاران (۱۲)؛ یودامسری (۳۲)؛ اسفندیارپور بروجنی و همکاران (۱۱)) که در پیشتر این پژوهش‌ها تنها به میزان کارایی و قابلیت‌های روش ژئوپدولوژی اشاره شده است. هرچند اسفندیارپور بروجنی و همکاران (۱۱) با پژوهش بر روی تأثیر فاصله‌ی نمونه‌برداری بر دقت نتایج روش ژئوپدولوژی، بهبود کاربرد این روش را برای مقیاس‌های بزرگ، منوط به اضافه نمودن یک سطح جدید با عنوان فاز شکل اراضی به سطوح چهارگانه‌ی آن دانسته‌اند؛ لیکن احساس نیاز به بررسی اثر مقیاس نقشه‌برداری بر نتایج روش ژئوپدولوژی همچنان به قوت خود باقی است. بنابراین، پژوهش حاضر تلاش می‌کند تا ارتباط و تأثیر دو مقیاس نقشه‌برداری مختلف ($1:55000$ و $1:40000$) را بر تعمیم‌پذیری نتایج روش ژئوپدولوژی برای واحدهای ژئومرفیک مشابه در منطقه‌ی دماوند (استان تهران) بررسی کند. همچنین، ارزیابی تأثیر نوع سامانه‌ی طبقه‌بندی خاک (سامانه‌ی رده‌بندی آمریکایی (۲۹) و طبقه‌بندی جهانی (۱۷)) بر قابلیت اعتماد برونوی‌بایی موجود در روش ژئوپدولوژی برای واحدهای مشابه، از دیگر اهداف انجام این پژوهش می‌باشد.

1- Spatial variability

2- Landform phase



شکل ۱- موقعیت منطقه‌ی مطالعاتی به همراه نقشه‌ی ژئوفرم آن (کدهای Hi و Pi، به ترتیب، نشانگر چشم‌اندازهای تپه‌ماهور و دامنه‌ی باشند و محدوده‌های A و B، واحدهای ژئومorfیک مشابه انتخاب شده هستند)

مطالعات نهایی

با توجه به نتایج آزمایشگاهی نمونه‌های خاک، رده‌بندی خاک-رخها بر اساس سامانه‌ی طبقه‌بندی آمریکایی (۲۹) تا سطح فامیل و بر مبنای سامانه‌ی طبقه‌بندی جهانی (۱۷) تا سطح زیر واحد (شامل توصیف کننده‌های پیشوندی و پسوندی) نهایی گردید. در پایان، نتایج طبقه‌بندی خاک‌های موجود در واحدهای ژئومورفیکی مشابه مورد مطالعه، برای هر مقیاس به‌طور جداگانه با استفاده از شاخص شباهت نسبی^۲، مورد مقایسه و تجزیه و تحلیل قرار گرفت.

شاخص شباهت، همانندی بین دو فرد (جامعه) را بر اساس بود و نبود متغیرها و یا مقادیر کمی یا کیفی ویژگی‌های موجود برای آن‌ها اندازه‌گیری می‌کند (۱۴). شاخص شباهت نسبی، میزان شباهتی از دو نمونه یا جامعه است که با درنظر گرفتن فراوانی نسبی هر کدام از گونه‌ها مشخص می‌گردد. این شاخص از طریق فرمول زیر، میزان شباهت بین دو جامعه (S) را محاسبه می‌کند (۲۰):

$$S = 1 - \sum_{i=1}^k \left(\frac{|p_i - q_i|}{2} \right) \quad (1)$$

که p_i و q_i به ترتیب، نشان‌دهنده‌ی فراوانی نسبی آمیخت گونه‌ی موجود در جامعه‌ی اول و دوم (در این مطالعه، محدوده‌های A و B) می‌باشند.

نتایج و بحث

نتایج برخی از ویژگی‌های فیزیکی و شیمیایی خاک‌رخ‌های حفرشده در محدوده‌های A و B در جدول ۱ آورده شده‌اند. طبقه‌بندی این خاک‌رخ‌ها بر اساس دو سامانه‌ی رده‌بندی آمریکایی (۲۹) و جهانی (۱۷) در جدول ۲ نشان داده شده‌است.

در مقیاس ۱:۵۵۰۰۰ و بر اساس سامانه‌ی رده‌بندی آمریکایی، تمام خاک‌های مشاهده شده در محدوده‌های A و B، در راسته‌ی اینسپیتی‌سول و بر اساس سامانه‌ی طبقه‌بندی جهانی، در گروه مرجع کمبی‌سول قرار دارند (جدول ۲). لیکن در مقیاس ۱:۴۰۰۰۰، ۸۷/۵ درصد از خاک‌های محدوده‌ی A، در راسته‌ی اینسپیتی‌سول و گروه مرجع کمبی‌سول و سایرین در راسته‌ی انتی‌سول و گروه مرجع فللوی‌سول قرار گرفته‌اند. این در حالی است که در محدوده‌ی B، ۱۰۰ درصد خاک‌ها بر اساس سامانه‌ی رده‌بندی آمریکایی در راسته‌ی اینسپیتی‌سول قرار گرفته‌اند؛ لیکن بر اساس سامانه‌ی طبقه‌بندی جهانی، ۷۵ درصد آن‌ها در گروه مرجع کمبی‌سول و ۲۵ درصد دیگر در گروه مرجع کلسی‌سول واقع شده‌اند (جدول ۲).

از آنجا که یکی از مهم‌ترین هدف‌های این پژوهش، ارزیابی میزان قابلیت اعتماد برونویابی موجود در روش ژئوپدولوژی برای واحدهای مشابه می‌باشد و با توجه به این که چشم‌انداز دامنه، بیشترین سطح از منطقه‌ی مطالعاتی را دربر می‌گیرد (شکل ۱)، دو محدوده‌ی (شکل زمین) مشابه A و B از چشم‌انداز گفته شده، به صورت تصادفی و به عنوان محدوده‌های هدف انتخاب شدند.

مطالعات صحراوی و آزمایشگاهی

پس از کنترل و تصحیح صحراوی حدود مرز واحدهای تفکیک شده در نقشه‌ی تفسیری اولیه، متناسب با مطالعات نیمه-تفصیلی خاک (۷)، به حفر خاک‌رخ در هر کدام از محدوده‌های مشابه مورد نظر اقدام گردید. رزیتر (۳۴) بیان می‌کند که در این گونه مطالعات (بسته به هدف و سطح دقت موردنظر)، یک خاک‌رخ به ازای هر ۲۵ تا ۱۰۰ هکتار می‌توان در نظر گرفت. به منظور مدنظر قراردادن دقت کافی در پژوهش حاضر، به ازای هر ۲۵ هکتار، یک خاک‌رخ حفر شد. بنابراین، با توجه به این مطلب و نظر به مساحت‌های متفاوت محدوده‌های A و B در دو مقیاس ۱:۴۰۰۰۰ (شکل ۱) و ۱:۵۵۰۰۰ (شکل آن نمایش داده شده است)؛ به ترتیب، چهار و سه خاک‌رخ در مقیاس ۱:۵۵۰۰۰، و هشت و چهار خاک‌رخ در مقیاس ۱:۴۰۰۰۰، در محدوده‌های A و B حفر شد. لازم به ذکر است که از خاک‌رخ‌های حفرشده در مقیاس ۱:۵۵۰۰۰، برای مقیاس ۱:۴۰۰۰۰ نیز استفاده شد و افزون بر آن، خاک‌رخ‌های جدید حفر شدند.

خاک‌رخ‌های حفرشده بر اساس روش‌های ارایه شده در راهنمای شناسایی و تشریح خاک‌ها در صحرا (۲۷) تشریح شدند و مطابق با کلید رده‌بندی آمریکایی خاک (۲۹) و طبقه‌بندی جهانی (۱۷) رده‌بندی گردیدند. سپس از همه‌ی افق‌های پیدایشی هر خاک‌رخ، نمونه‌ی خاک تهیه و برای انجام آزمایش‌های فیزیکی و شیمیایی به آزمایشگاه منتقل شدند.

نمونه‌های خاک، پس از هوا خشک شدن، کوبیده و از الک دو میلی‌متری عبور داده شدند. درصد ذرات درشت نمونه‌ها به روش حجمی و با استفاده از الک محاسبه گردید. بافت خاک‌ها به روش هیدرومتری (۱۳) تعیین شد. قابلیت هدایت الکتریکی عصاره‌ی اشباع خاک با استفاده از هدایت‌سنج مدل جنوی^۱-۴۵۰، اندازه‌گیری اسیدیته‌ی گل اشباع با استفاده از پهاش‌مترا مدل جنوی-۳۵۱۰-۰۵ میزان کل کربنات‌ها به روش تیتراسیون برگشتی (۱۹)، درصد مواد آلی به روش واکلی و بلاک (۲۳) و ظرفیت تبادل کاتیونی نمونه‌ها به روش استات آمونیوم (۳۰) اندازه‌گیری شدند.

2- Relative similarity
3- Reference Soil Group (RSG)

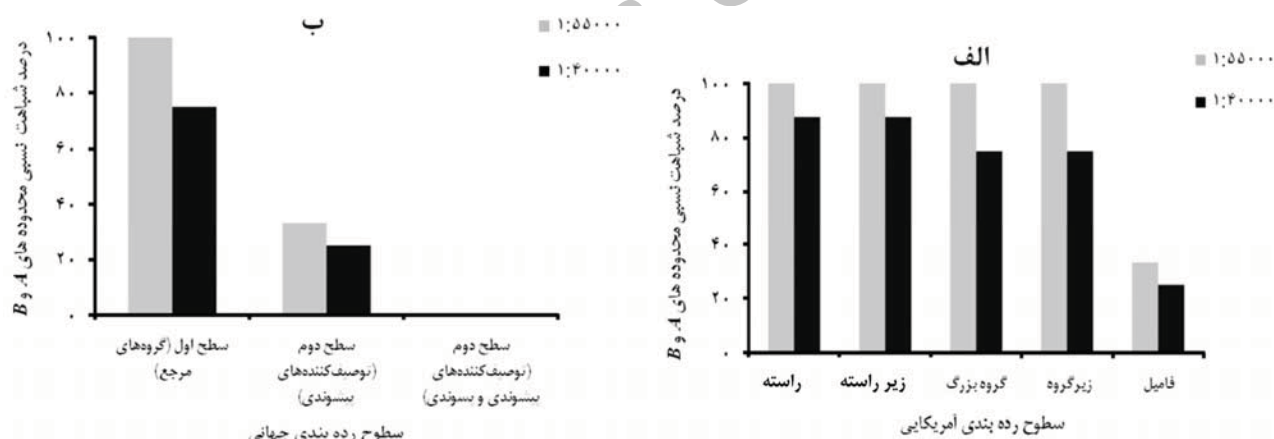
1- Jenway

جدول ۱- نتایج برخی از ویژگی‌های فیزیکی و شیمیایی خاک‌رخ‌های مطالعه شده

نام محدوده	شماره خاک‌رخ	مقیاس	آفون	عمق (cm)	سین	سبلت	دفن	فرات	فرات / ۰-۲ mm	فرات	۲۵-۵۰ mm	معدل	کربنات کلسیم	مواد آبی	بافت	وائمه خاک	کاتیوئت (Cmol(+) Kg ⁻¹)	ظرفیت تبادل کاتیوئتی (Cmol(+)) Kg ⁻¹	قابلیت هدایت (dS m ⁻¹)	
۰/۳	۱۲/۵	۷/۴	۱	۱/۶۱	۲	۸۰	۳۴	۱۸	۴۲	۴۰	۰-۱۰	A								
۰/۳	۱۵/۹	۷/۵	۱	۰/۷۹	۱۳	۸۵	۱۹	۲۸	۳۸	۳۴	۱۰-۳۵	AC	۱							
۰/۳	۱۱	۷/۵	sl	۰/۷۱	۱۷	۹۰	۴۲	۱۹	۲۵	۵۶	۳۵-۹۰	C1								
۰/۴	۷/۹	۷/۶	sl	۰/۳۹	۱۱	۹۵	۷۰	۱۱	۱۰	۷۹	۹۰-۱۴۰	C2								
۰/۴	۱۷/۹	۷/۳	۱	۱/۱۵	۳	۷۰	۱۹	۲۷	۴۷	۲۶	۰-۸	A								
۰/۳	۲۰/۸	۷/۳	cl	۰/۸۹	۱	۷۵	۳۴	۳۱	۳۵	۳۴	۸-۴۵	Bw	۲							
۰/۴	۱۸/۹	۷/۳	cl	۰/۵۵	۱۰	۸۰	۱۴	۲۹	۴۹	۲۲	۴۵-۸۳	C1								
۰/۵	۴/۹	۷/۵	sl	۰/۰۵	۱۱	۹۰	۶۴	۵	۲۱	۷۴	۸۳-۱۷۰	C2								
۰/۲	۱۵/۸	۶/۸	۱	۱/۳۶	۲	۵۴	۱۹	۲۱	۴۶	۳۳	۰-۲۰	Ap								
۰/۵	۱۴/۱	۷/۲	۱	۰/۸۴	۳	۵۸	۱۹	۲۰	۴۹	۳۱	۲۰-۴۵	Bw	۳							
۰/۴	۱۵/۸	۷/۴	۱	۰/۷۲	۶	۶۰	۲۸	۲۵	۳۵	۴۰	۴۵-۱۱۰	C								
۰/۳	۱۵/۴	۷/۲	۱	۱/۳۴	۱	۵۵	۱۹	۲۶	۴۰	۳۴	۰-۶	Ap								
۰/۶	۱۴/۳	۷/۱	۱	۰/۸۶	۳	۵۵	۱۹	۲۶	۴۳	۳۱	۱۶-۵۰	Bw	۴							
۰/۵	۱۶/۰	۷/۳	۱	۰/۷۱	۴	۶۰	۲۸	۲۱	۳۷	۴۲	۵۰-۱۱۵	C								
۱/۲	۱۴/۲	۷/۴	sl	۲/۶	۲	۶۰	۳۲	۱۶	۲۹	۵۵	۰-۳۰	Ap								
۰/۵	۱۴/۴	۷/۶	۱	۰/۹۱	۲	۶۳	۱۵	۲۰	۳۰	۵۰	۳۰-۱۰۰	Bw	۵							
۰/۴	۱۰/۹	۷/۷	sl	۰/۶۱	۱۴	۶۶	۴۸	۱۵	۲۰	۶۵	۱۰۰-۱۴۰	C								
۰/۴	۱۲/۷	۷/۲	sil	۱/۴۵	۲	۴۳	۱۳	۱۶	۵۱	۲۶	۰-۲۰	Ap								
۰/۴	۱۲/۵	۷/۳	sil	۰/۹۹	۱۴	۵۰	۱۲	۲۲	۶۱	۱۷	۲۰-۵۵	Bw	۶							
۰/۴	۱۲/۷	۷/۳	۱	۰/۶۵	۱۵	۶۲	۳۴	۱۹	۳۵	۴۶	۵۵-۱۲۵	C								
۰/۴	۱۲/۹	۷/۲	sil	۱/۳۹	۱	۴۵	۱۲	۱۷	۵۱	۲۵	۰-۲۰	Ap								
۰/۴	۱۳/۰	۷/۲	sil	۱/۳۱	۱۴	۴۷	۱۲	۲۱	۶۲	۱۷	۲۰-۶۰	Bw	۷							
۰/۴	۱۲/۵	۷/۴	۱	۱/۰۲	۱۳	۶۰	۳۷	۲۰	۳۴	۴۶	۶۰-۱۱۵	C								
۰/۴	۱۳/۶	۷/۴	sil	۱/۵۶	۲	۴۸	۱۲	۱۷	۵۱	۲۵	۰-۲۰	Ap								
۰/۴	۱۴/۰	۷/۲	sil	۱/۱۱	۱۳	۴۵	۱۱	۲۱	۶۱	۱۸	۲۰-۶۰	Bw	۸							
۰/۴	۱۳/۶	۷/۶	۱	۰/۸۳	۱۳	۵۶	۳۴	۲۰	۳۵	۴۵	۶۰-۱۳۵	C								
۰/۳	۱۴/۸	۷/۴	sil	۰/۹۲	۱	۲۷	۱۰	۲۱	۵۳	۲۶	۰-۱۵	Ap								
۰/۴	۱۴/۶	۷/۳	۱	۰/۸۲	۲	۳۰	۹	۲۱	۵۰	۲۹	۱۵-۳۰	Bw	۱							
۰/۳	۱۴/۸	۷/۶	۱	۰/۸۲	۱۴	۳۷	۲۱	۲۵	۴۰	۳۵	۳۰-۷۰	C								
-	-	-	-	-	۲۰	-	-	-	-	-	۷۰+	R								
۰/۸	۱۰/۸	۷/۴	sil	۰/۷۲	۱	۲۸	۱۵	۱۵	۵۶	۲۹	۰-۱۸	Ap								
۰/۷	۱۱/۷	۷/۴	sil	۰/۷۸	۲	۳۰	۱۳	۱۷	۵۱	۳۲	۱۸-۴۰	Bw	۲							
۰/۳	۱۴/۹	۷/۵	۱	۰/۲۶	۱۱	۳۵	۱۵	۲۷	۴۵	۲۸	۴۰-۹۰	C								
-	-	-	-	-	-	-	-	-	-	-	۹۰+	R								
۰/۵	۱۳/۶	۷/۳	sil	۱/۲۲	۱	۲۷	۱۱	۲۱	۵۹	۲۰	۰-۲۰	Ap								
۰/۷	۲۱/۱	۷/۳	۱	۰/۷۷	۲	۲۹	۱۲	۱۹	۴۸	۳۳	۲۰-۴۵	Bw								
۰/۴	۱۹/۱	۷/۵	cl	۱/۰۹	۵	۳۱	۱۲	۳۱	۴۶	۲۳	۲۵-۵۲	C	۳							
۰/۳	-	۷/۵	cl	۰/۹۲	۱۰	۳۵	۲۰	۲۹	۳۹	۳۲	۵۲-۷۰	Cr								
-	-	-	-	-	-	-	-	-	-	-	۷۰+	R								
۱/۳	۱۳/۴	۷/۳	sl	۲/۰۸	۱۰	۳۰	۱۴	۱۵	۴۱	۴۴	۰-۱۰	Ap								
۱/۰	۲۳/۵	۷/۴	cl	۰/۶۷	۱۵	۳۱	۱۴	۳۲	۴۴	۲۴	۱۰-۳۵	Bw1	۴							
۰/۴	۲۱/۰	۷/۴	cl	۰/۸۸	۲۱	۵۵	۲۰	۳۰	۴۰	۳۰	۳۵-۹۰	Bw2								
۰/۳	۱۱/۷	۷/۴	۱	۱/۸۱	۲	۴۰	۱۵	۱۷	۴۹	۳۴	۹۰-۱۴۰	Bk								

جدول ۲- طبقه‌بندی خاک‌رخ‌های حفرشده در محدوده‌های A و B بر اساس دو سامانه‌ی طبقه‌بندی مختلف

نام محدوده	مقیاس	شماره خاک-	نوع سامانه‌ی طبقه‌بندی	ردیف	طبقه‌بندی جهانی خاک (۲۰۰۷)
			Rd	(۲۰۱۰)	ردیفندی آمریکایی (۲۰۱۰)
		۱	Fragmental, Mixed, Superactive, Mesic Typic Xerofluvents		Haplic Fluvisols (Calcaric, Skeletic)
		۲	Loamy-Skeletal, Mixed, Superactive, Mesic Typic Haploxerepts		Fluvic Cambisols (Calcaric, Skeletic)
		۳	Loamy-Skeletal, Mixed, Superactive, Mesic Typic Haploxerepts		Fluvic Cambisols (Calcaric, Skeletic)
		۴	Loamy-Skeletal, Mixed, Superactive, Mesic Typic Haploxerepts		Fluvic Cambisols (Calcaric, Skeletic)
		۵	Loamy-Skeletal, Mixed, Superactive, Mesic Typic Haploxerepts		Fluvic Cambisols (Calcaric, Skeletic, Siltic)
		۶	Loamy-Skeletal, Mixed, Superactive, Mesic Typic Haploxerepts		Fluvic Cambisols (Calcaric, Skeletic, Siltic)
		۷	Loamy-Skeletal, Mixed, Superactive, Mesic Typic Haploxerepts		Fluvic Cambisols (Calcaric, Siltic)
		۸	Loamy-Skeletal, Mixed, Superactive, Mesic Typic Haploxerepts		Fluvic Cambisols (Calcaric, Siltic)
		۹	Loamy-Skeletal, Mixed, Superactive, Mesic Typic Haploxerepts		Fluvic Endoleptic Cambisols (Calcaric)
		۱۰	Fine-loamy, Mixed, Active, Mesic Typic Haploxerepts		Fluvic Cambisols (Calcaric, Siltic)
		۱۱	Fine-loamy, Mixed, Superactive, Mesic Typic Haploxerepts		Fluvic Endoleptic Cambisols (Calcaric)
		۱۲	Loamy-Skeletal, Mixed, Superactive, Mesic Typic Calcixerpts		Hypocalcic Calcisol (Skeletal)



شکل ۲- شباهت نسبی خاک‌های محدوده‌های A و B در سطوح مختلف دو سامانه‌ی ردیفندی آمریکایی (الف) و طبقه‌بندی جهانی (ب)

موجود میان خاک‌های دو محدوده‌ی A و B در همه‌ی سطوح ردیفندی آمریکایی برای مقیاس ۱:۴۰۰۰۰، کمتر از مقیاس ۱:۵۵۰۰۰ می‌باشد (شکل ۲-الف). نکته‌ی قابل تأمل این که با تغییر مقیاس، بیشترین درصد کاهش شباهت نسبی در سطوح گروه‌بزرگ و زیرگروه رخ داده است؛ زیرا میزان شباهت از ۱۰۰ درصد (در مقیاس ۱:۵۵۰۰۰) به ۷۵ درصد (در مقیاس ۱:۴۰۰۰۰) رسیده است. با این حال، کمترین میزان شباهت در سطح فامیل و در حدود ۲۵ درصد می‌باشد که در مقیاس ۱:۴۰۰۰۰ رخ داده است (شکل ۲-الف). در واقع، مد نظر قرار

شکل ۲ میزان شباهت نسبی خاک‌های موجود در دو محدوده‌ی A و B را بر اساس سامانه‌های ردیفندی آمریکایی (۱:۴۰۰۰۰) و طبقه‌بندی جهانی (۱:۵۵۰۰۰) در دو مقیاس مطالعاتی نمایش می‌دهد. همان‌گونه که در شکل ۲-(الف) و در مقیاس ۱:۵۵۰۰۰ مشاهده می‌گردد، خاک‌های محدوده‌های A و B در سطوح راسته، زیرراسته، گروه‌بزرگ و زیرگروه، کاملاً بر یکدیگر منطبق می‌باشند. اما میزان شباهت میان این مناطق در سطح فامیل به نحو چشم‌گیری کاهش یافته است و به $\frac{2}{3}$ درصد رسیده است. از طرفی، درصد شباهت

همکاران (۱) اظهار می‌دارند که هرچند سامانه‌ی طبقه‌بندی جهانی از دو سطح مختلف در ساختار خود بهره می‌گیرد؛ اما به دلیل انعطاف‌پذیری در استفاده از توصیف‌کننده‌های مختلف، از کارایی بالاتری برای توصیف، تشریح و کلاس‌بندی پیچیدگی‌های مبهم و فازی چشم‌اندازهای طبیعی خاک برخوردار می‌باشد. چنین موضوعی می‌تواند توجیهی بر پایین‌تر بودن میزان شباهت‌های محاسبه شده بر اساس سامانه‌ی طبقه‌بندی جهانی باشد. از طرفی، می‌توان این گونه استنبط نمود که سلسه‌مراتب روش ژئوپدولوژی در تفکیک ژئوفرم‌ها، سازگاری بالاتری با سامانه‌ی رده‌بندی آمریکایی نسبت به سامانه‌ی طبقه‌بندی جهانی در یک مقیاس مشخص دارد. زینک (۳۳) نیز بیان داشته است که سلسه‌مراتب موجود در روش ژئوپدولوژی با سطوح شش گانه‌ی سامانه‌ی رده‌بندی خاک آمریکایی هم‌خوانی دارند.

در هر حال، رزیتر (۲۴) و یودامری (۲۲) مناسب‌ترین مقیاس مطالعاتی برای روش ژئوپدولوژی را نیمه‌تفصیلی تا اجمالی بیان نموده‌اند. نکته‌ی جالب توجه در این راستا آن است که رزیتر (۲۴) مقیاس‌های ۱:۵۰۰۰۰ تا ۱:۱۰۰۰۰ را به عنوان بازه‌ی مطالعات نیمه‌تفصیلی معرفی نموده است؛ حال آن که در ایران، به‌طور معمول، مقیاس‌های ۱:۲۵۰۰۰ تا ۱:۱۰۰۰۰ را به عنوان دامنه‌ی مطالعات نیمه‌تفصیلی در نظر می‌گیرند (۷). بنابراین، اگر تعریف پژوهشگران ایرانی از مطالعات نیمه‌تفصیلی را ملاک عمل قرار دهیم، باید گفت که نتایج پژوهش حاضر در دو مقیاس ۱:۴۰۰۰۰ و ۱:۵۵۰۰۰ می‌دهد که در بازه‌ی مطالعات نیمه‌تفصیلی نیز تغییر مقیاس بر نتایج روش ژئوپدولوژی اثرگذار بوده است. لیکن به نظر می‌رسد که با توجه به نتایج این پژوهش، تعریف رزیتر (۲۴) از مطالعات نیمه‌تفصیلی با واقعیت صحراء و تعیین‌پذیری نتایج روش ژئوپدولوژی برای واحدهای مشابه، هم‌خوانی پیشتری دارد؛ زیرا درصد شباهت نسبی میان واحدهای مشابه A و B در مقیاس ۱:۴۰۰۰۰ (که بر اساس گفته‌ی رزیتر (۲۴) خارج از بازه‌ی مطالعات نیمه‌تفصیلی است)، کمتر از مقیاس ۱:۵۵۰۰۰ (که بر اساس گفته‌ی رزیتر (۲۴) در بازه‌ی مطالعات نیمه‌تفصیلی قرار دارد) به دست آمده است. افزون بر آن، نتایج این پژوهش، گفته‌های اسفندیارپور بروجنی و همکاران (۱۱) در ارتباط با ویرایش راهکار مورد استفاده در روش ژئوپدولوژی برای مقیاس‌های بزرگ‌تر از نیمه‌تفصیلی را تصدیق می‌کند و افزودن یک طبقه‌ی دیگر به سلسه‌مراتب روش گفته شده را برای تفکیک منطقی تر زمین و دست‌یابی به زیرواحدهای یکنواخت‌تر ضروری می‌داند. انجام این کار با بهره‌گیری از شواهد صحرایی منطقه‌ی مطالعاتی (مانند پوشش گیاهی، درصد ذرات درشت موجود در سطح خاک و غیره) امکان‌پذیر خواهد بود.

دادن جزئیات بیشتری از ویژگی‌های خاک در سطوح پایین‌تر رده‌بندی آمریکایی (مانند فامیل و سری خاک)، موجب آشکارتر شدن طبیعت تغییرپذیر و پیچیده‌ی خاک‌های منطقه‌ی مطالعاتی شده است و به تبع آن، کاهش میزان شباهت میان فامیل‌های خاک موجود در این دو منطقه را برای هر دو مقیاس مطالعاتی رقم زده است.

در شکل (۲-ب) مشاهده می‌گردد که در مقیاس ۱:۵۵۰۰۰ درصد شباهت نسبی میان خاک‌های مناطق A و B بر اساس سامانه‌ی طبقه‌بندی جهانی (۱۷) و در سطح گروه‌های مرجع خاک، ۱۰۰ درصد می‌باشد. برخلاف شباهت نسبی ۱۰۰ درصدی موجود در سطح اول سامانه‌ی طبقه‌بندی جهانی، این شباهت در سطح دوم (و تنها بر مبنای توصیف‌کننده‌های پیشوندی) به $\frac{۳۳}{۳}$ درصد کاهش یافته است. چنان‌چه شباهت میان خاک‌های این دو منطقه را در سطح دوم و بر اساس کاربرد با هم توصیف‌کننده‌های پیشوندی و پسوندی در مقیاس ۱:۵۵۰۰۰ بررسی نماییم، در می‌باییم که میان این خاک‌ها هیچ شباهتی وجود ندارد. در هر حال، سامانه‌ی طبقه‌بندی جهانی نیز همانند سامانه‌ی رده‌بندی آمریکایی، درصد شباهت‌های به دست آمده میان خاک‌های محدوده‌ای A و B در مقیاس ۱:۵۵۰۰۰، بیش از مقیاس ۱:۴۰۰۰۰ برآورد نموده است. به عبارتی، از مقایسه‌ی میزان شباهت‌های به دست آمده از سامانه‌های طبقه‌بندی جهانی و آمریکایی در دو مقیاس گفته شده، مشخص می‌گردد که میزان شباهت برآورد شده میان دو محدوده‌ی مطالعاتی در مقیاس ۱:۵۵۰۰۰، همواره و در همه‌ی سطوح، بالاتر از مقیاس ۱:۴۰۰۰۰ قرار گرفته است (شکل ۲).

رزیتر (۲۵) سطح اول سامانه‌ی طبقه‌بندی جهانی (۱۷) را از نظر مفهومی، معادل با سطوح راسته و زیرراسته در سامانه‌ی رده‌بندی آمریکایی (۲۹) معرفی نموده است؛ حال آن که سطح دوم سامانه‌ی طبقه‌بندی جهانی (۱۷) را به شرط استفاده از یک توصیف‌کننده، معادل با سطح گروه‌بزرگ و در صورت استفاده از چندین توصیف‌کننده، همسان با سطح زیرگروه از سامانه‌ی رده‌بندی آمریکایی (۲۹) می‌داند. بر این اساس، تنها در مقیاس ۱:۵۵۰۰۰ ملاحظه می‌شود که میزان شباهت نسبی سطح راسته و زیرراسته با سطح اول سامانه‌ی طبقه‌بندی آمریکایی (به دلیل استفاده از چندین سطح زیرگروه سامانه‌ی رده‌بندی آمریکایی) با سطح دوم سامانه‌ی طبقه‌بندی توصیف‌کننده در این پژوهش) با سطح زیرگروه از سامانه‌ی رده‌بندی جهانی (جدول ۲)، هرگز استنبط رزیتر (۲۵) را القانمی کند؛ زیرا میزان شباهت نسبی موجود بین دو محدوده‌ی A و B در سطح زیرگروه برای مقیاس‌های ۱:۵۵۰۰۰ و ۱:۴۰۰۰۰، به ترتیب، ۱۰۰ و ۷۵ درصد است؛ حال آن که در سطح دوم سامانه‌ی طبقه‌بندی جهانی و تنها بر مبنای استفاده از توصیف‌کننده‌های پیشوندی، میزان این شباهت بسیار کمتر برآورد شده است (شکل ۲). اسفندیارپور بروجنی و

نتیجه‌گیری

کوچک‌تر (مانند اجمالی) می‌باشد؛ لیکن در مقیاس نیمه‌تفصیلی نیز روش ژئوپدولوژی، تنها تا سطح زیرگروه می‌تواند میزان شباهت قابل قبولی را برای دو واحد ژئومرفیک مشابه تخمین بزند و برای سطوح پایین‌تر سامانه‌ی رده‌بندی آمریکایی (مثل فامیل خاک)، کارایی این روش در هاله‌ای از ابهام قرار می‌گیرد. به عبارت دیگر، عدم دست‌یابی به خاک‌های یکسان در سطح فامیل سامانه‌ی رده‌بندی آمریکایی (و یا سطح دوم سامانه‌ی طبقه‌بندی جهانی) برای شکل‌های زمینی مشابه، بیانگر این حقیقت است که روش ژئوپدولوژی هنوز قادر به برآوردن و تعیین تغییرات کامل خاک‌ها و تعریف دقیق طبیعت بی‌نظم و درهم آن‌ها نمی‌باشد.

نتایج روش ژئوپدولوژی با تغییر مقیاس مطالعاتی، دستخوش تغییر می‌شوند و منجر به تفاوت‌های تاکسونومیکی (به‌خصوص در سطوح پایین‌تر سامانه‌های طبقه‌بندی خاک) در واحدهای ژئومرفیک مشابه می‌گردند. به همین دلیل، میزان اعتبار نتایج روش ژئوپدولوژی، شدیداً وابسته به مقیاس می‌باشد. از سوی دیگر، سامانه‌ی رده‌بندی خاک آمریکایی نسبت به سامانه‌ی طبقه‌بندی جهانی در برآورد میزان شباهت نسبی خاک‌های موجود در ژئوفرم‌های مشابه، از هم‌خوانی بالاتری با روش ژئوپدولوژی برخوردار می‌باشد. در هر حال، کارایی بهتر روش ژئوپدولوژی، محدود به مقیاس‌های نیمه‌تفصیلی و یا

منابع

- اسفندیارپور بروجنی ع.، فریبور م. و کمالی ا. ۱۳۹۰. بررسی کارایی دو سامانه‌ی رده‌بندی آمریکایی و جهانی در ارتباط با طبقه‌بندی خاک‌های شهر استان کرمان. نشریه‌ی آب و خاک ۲۵ (۵): ۱۱۵۸-۱۱۷۱.
- بنایی م. ح. ۱۳۷۷. نقشه‌ی رژیم‌های رطوبتی و حرارتی خاک‌های ایران. سازمان تحقیقات، آموزش و ترویج کشاورزی. مؤسسه‌ی تحقیقات خاک و آب کشور.
- بنی‌نعمه‌ی ج. مؤمنی ع. هنمان ر. و فرشاد ع. ۱۳۸۴. استفاده از روش ژئوپدولوژی و سنجش از دور به‌منظور طبقه‌بندی تناسب اراضی برای تولید علوفه در منطقه‌ی روضه‌چای. نهمین کنگره‌ی علوم خاک ایران، ۶-۹ شهریور، دانشگاه تهران. صفحه‌های ۳۴۸-۳۵۰.
- سازمان نقشه‌برداری کشور. ۱۳۸۱. نقشه‌ی توپوگرافی با مقیاس ۱:۲۵۰۰۰، بلوک ۳۶ تهران.
- سازمان نقشه‌برداری کشور. ۱۳۸۴. نقشه‌ی توپوگرافی با مقیاس ۱:۵۰۰۰۰، بلوک ۱۵ تهران.
- سازمان زمین‌شناسی کشور. ۱۳۷۵. نقشه‌ی زمین‌شناسی ایران با مقیاس ۱:۱۰۰۰۰۰، برگه‌ی شماره‌ی ۶۴۶۱ دماوند.
- صالحی م. ح. و خادمی ح. ۱۳۸۷. مبانی نقشه‌برداری خاک. انتشارات جهاد دانشگاهی دانشگاه صنعتی اصفهان.
- Arcak C., Ozden s., Kurucu Y., Altinbas U., Bolca M. and Turk T. 2002. Estimation of degradation risk on mass movement-prone areas of Senirkent and GIS&RS-aided modeling and mapping of susceptible zones using Direct-Heuristic Technique [Online]. http://www.toprak.org.tr/isd/can_41.htm.
- Bani-Nemeh J. 2003. Land evaluation for land use planning with especial attention to sustainable fodder production in the Roodzeh-Chaeicatchment of Orumieh area, Iran. Msc. Thesis, International Institute for Geo-information Science and Earth Observation (ITC), Enschede, The Netherlands.
- Burrough P. A. 1983. Multiscale source of spatial variation in soil. The application of fractal concept to nested levels of soil variation. Journal of Soil Science, 34: 577-597.
- EsfandiarpoorBorujeni I., Salehi M. H., Toomanian N., Mohammadi J. and Poch R.M. 2009. The effect of survey density on the results of geopedological approach in soil mapping: a case study in the Borujen region, Central Iran. Catena 79: 18-26.
- Farshad A., Udomsri S., Yadav R. D., Shrestha D. P., and Sukchan S. 2005. Understanding geopedologic is clue for improving the management of salt-affected soil in NongSuang district, NakhonRatchasima. Land Development Department, Thailand.
- Gee G. W. and Bauder J. W. 1986. Particle size analysis. PP. 383-411. In: Klute, A. (Ed.). Methods of Soil Analysis. Part 1, Am. Soc. Agron. Inc, Madison, WI, USA.
- Gower J. C. 1971. General coefficient of similarity and some of its properties. Biometrics, 27: 857-874.
- Hay G. J., Marceau D. J. and Bouchard A. 2002. Modeling multi-scale landscape structure within a hierarchical scale-space framework. ISPRS Commission IV Symposium on Geospatial Theory, Processing and Applications. July 9-12. Ottawa, Canada, pp. 532-535.
- Hengl T. and Rossiter D. J. 2003. Supervised landform classification to enhance and replace photo-interpretation in semi-detailed soil survey. Soil Science Society of America Journal, 67: 1810-1822.
- IUSS Working Group WRB. 2007. World Reference Base for Soil Resources 2006, first update 2007.

- World Soil Resources Reports No. 103. FAO, Rome.
- 18- Kolay A. K. 2000. Basic concepts of soils science. 2nd ed. New AGE International Publishers, 420 pp.
- 19- Loeppert R. H. and Suarez D.L. 1996. Carbonate and gypsum. In D.L. Sparks. (Ed.) Methods of Soil Analysis. Part 3. Am. Soc. Agron. Inc, Madison, WI, USA. PP. 437-474.
- 20- Manly B.F.J. 2004. Multivariate Statistical Methods: A primer (3rded.). Chapman and Hall, CRC, London, 215 pp.
- 21- Momeni A. 1994. Assessment of the prevailing irrigation practice and their relation to soil, using remote sensing and GIS in the Hamadan area (Iran). MSc. Thesis, International Institute for Aerospace Survey and Earth Science (ITC), Enschede, The Netherlands.
- 22- Momeni A. 1999. Soil quality changes under long-term when cultivation in the Marvdasht plain, south-central Iran. Ph.D dissertation, GentUniversity, Gent, Belgium.
- 23- Nelson D. W. and Summers L. E.1996. Total carbon, organic carbon, and organic matter, In: Sparks, D.L. (Ed.), Methods of soil Analysis. Part 3, Am. Agron. Inc, Madison, WI. USA. PP. 961-1010.
- 24- Rossiter D. G. 2000. Methodology for Soil Resource Inventories, Lecture notes, 2nd Revised Version. Soil Science Division, International Institute for Aerospace Survey and Earth Science (ITC), Enschede, The Netherlands.
- 25- Rossiter D. G. 2001. Principles of Soil Classification. Lecture Notes, International Institute for Aerospace Survey and Earth Sciences (ITC), Enschede, the Netherlands.
- 26- Rossiter D. G. and Hengl T. 2001. Technical notes: creating geometrically correct photo-interpretation, photo-mosaics, and base maps for a project GIS. <http://www.itc.nl/rossiter>.
- 27- Schoenberger P. J., Wysocki D. A., Benham E. C. and Broderson W. D. (Eds.). 2002. Field Book for Describing and Sampling Soils (2nded.). Natural Resources Conservation Service. National soil survey Center, Lincoln. Ne, 228 pp.
- 28- Shepande C. 2002. Soil and land use with particular attention to land evaluation for selected land use types in the lake Neivasha Basin, Kenya. International Institute for aerospace survey and earth sciences(ITC), Enschede, the Netherlands. 106 p.
- 29- Soil Survey Staff. 2010. Keys to Soil Taxonomy (11th ed.). NRCS, USDA, USA.
- 30- Sumner M.E. and Miller W.P. 1996. Cation exchange capacity and exchange coefficient. In: D.L. Sparks (Ed.), Methods of soil analysis, Part 3. American Society of Agronomy, Inc., Madison, WI, USA, pp. 1201-1229.
- 31- Sylla M., Stein A., Van Mensvoort M. E. and can Breemen N. 1996. Spatial variability of soil actual and potential acidity in the mangrove agroecosystem of West Africa. Soil Science Society of American Journal, 60: 219-229.
- 32- Udomsri S. 2006. Application of computer assisted geopedology to predictive soil mapping and its use in assessing soil erosion prone areas: a case study of DoiAngKhang, AngKhang Royal Agricultural Station, Thailand. MSc. Thesis, International Institute for Geo-Information Science and Earth Observation (ITC), Enschede, The Netherlands.
- 33- Zinck J. A. 1989. Physiography and soils. Lecture-notes for soil students. Soil Science Division. Soil survey courses subject matter: K6 ITC, Enschede, The Netherlands.



Effect of Scale and Type of Classification System on the Results of Soil Mapping Using Geopedologic Approach (A Case Study: Damavand Region, Tehran Province)

Z. Rashidi Koochi^{1*} - I. Esfandiarpoor Borujeni² - A. Abbaspour³ - A. Kamali⁴ - A.A. Naderi⁵

Received: 06-02-2012

Accepted: 26-08-2012

Abstract

Geopedology is a systematic approach to analyze the geomorphic levels for soil mapping which organizes natural terrains in a hierarchical order in accordance with their scale. Hereon, the effect of mapping scale and kinds of soil classification system on the reliability of the geopedologic approach was investigated. In view of that, after air-photos interpretation (1:55,000 and 1:40,000 scales) of an area (1500 ha) on the east of Damavand, two similar delineations (named A and B) were selected on the geoform map. Then, some pedons were dug in the similargeoforms based on semi-detailed soil surveys. The pedons were classified up to the family level according to Soil Taxonomy and up to the subunit level (including suffix and prefix qualifiers) based on WRB soil classification systems. This was conducted when description and sampling from all genetic horizons and physical and chemical analyses had been already done. The results showed that mapping scale affected the results of the geopedologic approach significantly, so that relative similarity in all taxonomic levels was lower in 1:40,000 scale than the 1:55,000 scale for all studied pedons. Besides, Soil Taxonomy was more adaptable than WRB in predicting the relative similarity among soils in the same geoforms. On the whole, the geopedologic approach is still not able to estimate and determine the complete variability of soils and define their chaotic nature precisely, and the performance of this approach is limited to semi-detailed surveys and smaller ones.

Keywords: Generalization, Geopedologic approach, Scale, Similar units, Soil mapping

1,3,5- MSc. Student and Assistant Prof., Dept. of Soil Sci., Faculty of Agri., Technol. University of Shahrood, respectively

(*-corresponding Author Email: Zakiehrashidi@yahoo.com)

2,4- Assistant Prof., Dept. of Soil Sci., Faculty of Agri., Vali-e-Asr University of Rafsanjan